

# استخراج پلی‌ساقارید محلول در آب از قارچ خوراکی صدفی به کمک امواج فرماصوت و بررسی فعالیت آنتی‌اکسیدانی آن

حسین جوینده<sup>۱\*</sup>، زهرا حاجی‌ابراهیمی فروشانی<sup>۲</sup>

۱- دانشیار گروه علوم و صنایع غذایی، دانشکده علوم دامی و صنایع غذایی، دانشگاه علوم کشاورزی و منابع طبیعی خوزستان، ملاشانی

۲- کارشناس ارشد صنایع غذایی

(تاریخ دریافت: ۰۲/۱۴/۹۷ تاریخ پذیرش: ۱۱/۰۳/۹۷)

## چکیده

این پژوهش بهمنظور بررسی تأثیر امواج فرماصوت در توان‌های ۴۰–۸۰ درصد (معادل ۴۶۴–۲۳۲ وات)، دماهای استخراج ۵۰–۸۰ درجه سانتی‌گراد و زمان‌های استخراج ۱۰–۳۰ دقیقه بر میزان راندمان استخراج پلی‌ساقارید محلول در آب از قارچ خوراکی صدفی (*Pleurotus ostreatus*) انجام پذیرفت. بهینه‌یابی فرایند استخراج و بررسی تأثیر اثرات اصلی و متقابل فاکتورها با استفاده از روش سطح پاسخ و به کمک طرح Box–Behnken با سه متغیر و در سه سطح و ۵ تکرار در نقطه مرکزی انجام شد. همچنین پلی‌ساقارید استخراج شده از نظر ظرفیت آنتی‌اکسیدانی (مهار رادیکال OH و DPPH) مورد بررسی قرار گرفت. بهینه‌سازی بازده استخراج پلی‌ساقارید به کمک روش سطح پاسخ نشان داد که ترکیبی از توان امواج فرماصوت ۵۸/۰۶ درصد (معادل ۳۳۷ وات)، دمای استخراج ۶۵/۱۵ درجه سانتی‌گراد و زمان امواج دهی ۲۱/۷۲ دقیقه باعث بیشترین بازده (۱۷/۷۱ درصد) استخراج گردید. نتایج حاصل از بررسی فعالیت آنتی‌اکسیدانی نشان داد که هرچند پلی‌ساقارید استخراجی در مقایسه با آنتی‌اکسیدان‌های طبیعی اسید آسکوربیک و سنتری BHT از قابلیت کمتری در جذب رادیکال‌های آزاد برخوردار بود اما خواص ضدآکسایشی قابل قبولی از خود نشان داد.

**کلید واژگان:** بهینه‌یابی، قارچ صدفی، روش سطح پاسخ، فعالیت آنتی‌اکسیدانی

\* نویسنده مسئول: hosjooy@asnrukh.ac.ir

یکی از تغییرات عمدہ‌ای که در حین فراوری، توزیع، انبارداری و آماده‌سازی مواد غذایی روی می‌دهد، اکسیداسیون روغن‌ها و چربی‌ها است. این رویداد نه تنها باعث از دست رفتن کیفیت غذیه‌ای می‌شود، بلکه محصولات اکسیدشده‌ای مانند رادیکال‌های آزاد تولید می‌کند که منجر به واکنش‌های متعدد نامطلوب شیمیایی می‌گردد. به علاوه، هرچند در متابولیسم بسیاری از ارگانیسم‌ها، اکسیداسیون یکی از مهمترین فرایندها برای تأمین انرژی است، اما برخی از اکسیداسیون‌های غیرکنترل شده منجر به تولید گونه‌های اکسیژن فعال (ROS) می‌شود که برای سلامتی بدن مضر هستند. این گونه‌های فعال اکسیژن که غالباً شامل آئیون‌های سوپراکساید، پراکسید هیدروژن و رادیکال‌های هیدروکسیل می‌باشند [۷] به دلیل الکترون‌های تنها و نامتعادل خود بسیار ناپایدار هستند و ممکن است باعث ایجاد آسیب‌های اکسیداتیو در بدن شوند. این آسیب‌ها ممکن است به صورت بیماری‌های قلبی عروقی، دیابت و سرطان بروز نماید [۸]. یکی از روش‌های اندازه‌گیری فعالیت آنتی‌اکسیدانی ترکیبات، سنجش قدرت آن‌ها در مهار رادیکال آزاد هیدروکسیل می‌باشد. رادیکال‌های هیدروکسیل به عنوان فعال‌ترین رادیکال‌های آزاد شناخته می‌شوند که می‌توانند از تمام غشاهای سلولی به راحتی عبور نموده و با ترکیبات داخل سلولی مانند کربوهیدرات‌ها، پروتئین‌ها، لیپیدها و DNA وارد واکنش شوند و منجر به آسیب بافتی و یا مرگ سلولی شوند [۹]. بنابراین مهار رادیکال‌های آزاد هیدروکسیل برای دفاع آنتی‌اکسیدانی در سلول‌ها یا سیستم‌های غذایی بسیار مهم است. همچنین، بررسی فعالیت به‌داماندازی رادیکال‌های آزاد DPPH یکی از روش‌های تعیین میزان خواص آنتی‌اکسیدانی می‌باشد. رادیکال DPPH یک رادیکال لیپوفیل است که دارای جذب بیشینه در طول موج ۵۱۷ نانومتر است. در این روش رنگ ارغوانی رادیکال های DPPH در طول موج ۵۱۷ نانومتر، توسط آنتی‌اکسیدان‌ها کاهش یافته و به رنگ زرد

## ۱- مقدمه

باتوجه به گرایش روز افزون بشر به درمان توسط مواد طبیعی، قارچ‌ها می‌توانند منبع مناسب برای تأمین این نیاز باشند. مؤثر و ارزان بودن و سهولت استفاده (تهیه و مصرف) قارچ‌ها از مهمترین مزایای آن‌ها به عنوان ترکیبات فراسودمند است. خاصیت درمانی قارچ‌های ماکروسکوپی تا سال‌های اخیر در پرده‌ای از ابهام باقی مانده بود تا اینکه بررسی‌های علمی، خواص دارویی و تغذیه‌ای آن‌ها را نشان داد. از جمله این خواص می‌توان به خواص ضدبacterیایی، ضدviroسی، ضدقارچی، ضدحساسیت، تقویت سیستم ایمنی، ضدتوموری، کاهش قند و فشار خون اشاره کرد [۱].

پلی‌ساقاریدها از جمله ترکیبات مهم و مفید در قارچ‌ها هستند و دارای ویژگی‌های تغذیه‌ای مناسبی مانند ضدسرطان، جاذب رادیکال‌های آزاد، افزایش تولید هیدروکسی پرولین و گلیکوز‌آمینو‌گلیکان (مؤثر در درمان بیماری‌های مفاصل) می‌باشند [۲]. تاکنون بیش از ۱۰۰ نوع پلی‌ساقارید از اسپور، میسلیوم و محیط کشت مایع قارچ‌ها جدا شده است. از این پلی‌ساقاریدها می‌توان به بتا دی-گلوکان‌ها، هتروپلی‌ساقاریدها و گلیکوپروتئین‌ها اشاره کرد. پلی‌ساقاریدهای کیتین و کیتوزان که در دیواره سلولی قارچ‌ها یافت می‌شوند دارای خواص دارویی هستند؛ به طوری که در تنظیم عمل کبد، روده و کلیه سهم بسزایی دارند [۳]. تحقیقات نشان داده است که پروتئین‌های متصل به پلی‌ساقاریدهایی که از قارچ خوراکی استخراج شده است، دارای فعالیت ضدتومور و ضد دیابت هستند [۴]. همچنین پلی‌ساقاریدهای قارچ *Ganoderma lucidum* باعث کاهش قد خون در موش-های آزمایشگاهی به‌وسیله آزاد ساختن انسولین از سلولهای  $\beta$ -پانکراس می‌شود [۵]. تحقیقات اولیه که توسط هیکینو و همکاران [۶] در سال ۱۹۸۵ انجام گرفت نشان داد که پلی‌ساقاریدهای موجود در این قارچ باعث کاهش قند خون می‌شوند.

1. Reactive oxygen species

استخراج با آب داع (۴/۷۶ درصد) تعیین شد [۱۴]. دمای ۴۹ درجه سانتی گراد، زمان ۲/۳ ساعت، شرایط قلیایی ۷ درصد و نسبت آب به مواد ۲۳ میلی لیتر بر گرم به عنوان شرایط بهینه استخراج گزارش گردید. همچنین در این تحقیق اختلافی از نظر خاصیت آنتی اکسیدانی (جذب رادیکال سوپراکساید و مهار رادیکال DPPH) میان پلی ساکارید استخراج شده در شرایط قلیایی با شرایط آب داغ مشخص نگردید.

*Pleurotus* قارچ خوراکی صدفی یا پلوروتوس (*ostreatus*), در میان سایر قارچ های خوراکی دومین بازار تولید و مصرف را در دنیا به خود اختصاص داده است. این نوع قارچ ها علاوه بر ظاهر زیبا و عطر و طعم دلپذیر، منع غذایی ارزشمندی برای انسان به حساب می آیند و انواع مختلفی از گونه های آن در جهان شناخته شده است [۱۵]. گونه های مختلف جنس پلوروتوس از جمله قارچ های تجزیه کننده ای است که مستقیماً روی بسترها کشت قادر به رشد بوده و نیازی به عملیات تخمیر اولیه یا کمپوست سازی برای کشت آن نمی باشد [۱۶]. ویژگی های منحصر به فرد تولید این قارچ نظیر سادگی روش تولید، سرعت بالای رشد، مقاومت در برابر بیماری ها و آفات، امکان استفاده از ضایعات کشاورزی و صنعت غذا در تولید آن [۱۷] و همچنین خواص جالب توجه غذایی و دارویی آن همانند تأمین مواد مغذی مورد نیاز بدن شامل پروتئین، فیبر، املاح و ویتامین ها و تأثیر مفید بر سلامتی انسان بویژه جلوگیری از سرطان کولون و سینه [۱۸]، کاهش کلسترول خون، آنتی آتروژنیک (ضد بیماری های قلبی سعروقی) [۱۹]، خواص آنتی اکسیدانی [۲۰] و ضد میکروبی [۲۱] و بسیاری از مزایای دیگر سبب شده است که تولید آن به عنوان محصولی ارزشمند مورد توجه بسیاری از محققین قرار گیرد. امروزه پلی ساکارید استخراج شده از قارچ خوراکی صدفی به دلیل خواص تغذیه ای و درمانی، با قیمت بسیار بالایی در بازارهای جهانی به فروش می رسد. این در حالی است که اطلاعات و مستندات کافی در خصوص استخراج پلی ساکارید

تبديل می شود. درجه بی رنگ شدن این ترکیب بیانگر قدرت بهدام اندازی رادیکال آزاد توسط آنتی اکسیدان مربوطه می باشد [۱۰].

تاکنون تحقیقات محدودی در زمینه استخراج پلی ساکارید از انواع قارچ و ارزیابی فعالیت آنتی اکسیدانی آن انجام شده است. Kan و همکاران [۱۱] با بررسی تأثیر عوامل مؤثر در استخراج *Ganoderma lucidum*، بهترین شرایط استخراج جهت بالاترین راندمان پلی ساکارید حاصل از قارچ جان افزا (*Pleurotus eryngii*)، بهترین شرایط استخراج جهت بالاترین راندمان نمودند. این محققین خاصیت آنتی اکسیدانی پلی ساکارید استخراج شده با کمک اتانول ۸۰ درصد را بسیار بالاتر از سایر غاظتها (۴۰ و ۶۰ درصد اتانول) گزارش نمودند. Zhang و همکاران [۱۲] از امواج فرا صوت جهت استخراج پلی ساکارید از قارچ شاه صدف (*Pleurotus eryngii*) استفاده نمودند. این محققین استفاده از توان ۵۱۷ وات، نسبت آب به مواد ۱۹ میلی لیتر بر گرم و زمان ۳۹ دقیقه را به عنوان بهترین شرایط جهت استخراج پلی ساکارید (راندمان ۳۴/۳ درصد) تعیین نمودند. در این تحقیق نیز خاصیت آنتی اکسیدانی پلی ساکارید استخراج شده با کمک اتانول ۸۰ درصد بسیار بالاتر از سایر غاظتها (۳۰ و ۶۰ درصد اتانول) مشخص شد. Zou و همکاران [۱۳] بهترین شرایط استخراج پلی ساکارید از قارچ گوش ژله ای (*Auricularia auricula*) را نسبت آب به مواد ۳۸/۷۷ میلی لیتر بر گرم، دمای ۹۳/۹۸ درجه سانتی گراد و زمان ۳/۴۱ ساعت گزارش نمودند. در این شرایط میزان راندمان استخراج پلی ساکارید ۱۰/۴۶ درصد تعیین گردید و توانایی جذب رادیکال های هیدروکسیل تو سط آن در غاظت-های مشابه بالاتر از آنتی اکسیدان مصنوعی BHT بود. در تحقیقی دیگر، استخراج پلی ساکارید از میسیلیوم قارچ *Monascus* تو سط آب داغ با شرایط قلیایی مقایسه گردید و میزان راندمان در حالت قلیایی (۱۰/۱ درصد) بسیار بالاتر از

مدت ۲ ساعت مخلوط و شستشو شد. پس از شستشو، ترکیبات قارچ به کمک سانتریفیوز با دور ۳۰۰۰ دور در دقیقه به مدت ۱۰ دقیقه از مخلوط الكلی جداسازی و در نهایت در آون تحت خلاء خشک شد. فرایند استخراج با کمک دستگاه حمام فراصوت (Germany P60H Elmasonic)، مدل قابل تنظیم تا حداکثر توان ۵۸۰ وات (معادل ۱۰۰ درصد) و در فرکانس ۶۰ هرتز انجام پذیرفت. در این تحقیق فرآیند استخراج پلی‌ساقارید از ۲۰ گرم نمونه خشک شده قارچ با آب داغ (به نسبت ثابت ۱ به ۱۵) و در توانهای مختلف امواج فراصوت (۴۰ تا ۸۰ درصد)، دماهای مختلف (۵۰ تا ۸۰ درجه سانتی‌گراد) و زمانهای مختلف استخراج (۱۰ تا ۳۰ دقیقه) با توجه به آزمونهای مقدماتی انجام پذیرفت. از اتانول ۸۰ درصد جهت تکمیل فرآیند استخراج و رسوب‌دهی پلی‌ساقارید حاصل استفاده شد. پلی‌ساقارید رسوب کرده در آون تحت خلا به کمک هوای گرم با دمای ۵۰ درجه سانتی‌گراد خشک و توزین گردید و بازده استحصال پلی‌ساقارید به کمک رابطه زیر تعیین گردید:

$$\frac{\text{برنداشت} \times 100}{\text{برنداشت اولیه}} = (\%) \text{ راندمان استخراج}$$

معادله ۱

## ۲-۲-۲- بررسی خصوصیت آنتی‌اکسیدان پلی‌ساقارید استخراج شده

### ۲-۲-۲-۱- سنجش قدرت پلی‌ساقارید در مهار رادیکال

#### هیدروکسیل (OH)

توانایی و قابلیت جذب رادیکال‌های هیدروکسیل توسط پلی‌ساقارید استخراج شده به کمک روش ارائه شده توسط ژونگ و همکاران ارزیابی شد [۲۳]. نمونه پلی‌ساقاریدها در ۱۰ میلی‌لیتر آب مقطر در غلاظت‌های متفاوت ۵۰ تا ppm ۳۰۰ حل شدند. محلول نمونه با ۱ میلی‌لیتر سولفات آهن (۱/۵۰ مول) و ۰/۳ میلی‌لیتر سدیم سالیسیلات (۲۰ مولار) مخلوط و سپس محلول حاصل با ۰/۷ میلی‌لیتر از  $H_2O_2$  (۶ مولار)

از قارچ خوراکی صدفی، به‌ویژه نحوه تأثیر امواج فراصوت بر فرایند استخراج وجود ندارد. بنابراین، این پژوهش به منظور بررسی تأثیر شرایط مختلف تیمار فراصوت بر میزان استخراج پلی‌ساقارید از قارچ خوراکی صدفی انجام پذیرفت. از روش سطح پاسخ برای تعیین مقادیر بهینهٔ فاکتورهای مورد بررسی استفاده شد زیرا در این روش جهت حصول حداکثر بازده و حداکثر ضریب اطمینان صحت آزمون، تیمارهای کمتر و همچنین زمان کمتری مورد نیاز است. به علاوه، در این پژوهش خاصیت آنتی‌اکسیدانی یا ویژگی جذب رادیکال‌های آزاد توسط پلی‌ساقارید استخراج شده به روش‌های مختلف بررسی گردید.

## ۲- مواد و روش‌ها

### ۲-۱- مواد مصرفی

قارچ خوراکی صدفی (شرکت قارچ آرین، کرج) از بازار خریداری گردید. قارچ‌ها به منظور جداسازی تمامی ناخالصی‌ها و مواد خارجی به صورت دستی تمیز گردیدند و سپس با آب به خوبی شسته شدند. سپس با آب مقطر آبکشی شدند و در آون تحت خلا در دمای ۵۰ درجه سانتی‌گراد به مدت حداقل یک شبانه روز قرار گرفتند تا کاملاً خشک شوند. اثانول از شرکت رازی تهیه گردید و سایر مواد شیمیایی مورد استفاده از شرکت مرک آلمان خریداری شدند.

### ۲-۲- روش‌ها

#### ۱-۲-۲- استخراج پلی‌ساقارید از قارچ خوراکی صدفی

استخراج پلی‌ساقارید از قارچ خوراکی صدفی به کمک روش مزارعی و همکاران [۲۲] انجام گرفت. به طور خلاصه، ۲۰۰ گرم قارچ خشک شده در یک مخلوط کن خرد شد و به پودر نرمی تبدیل شد. سپس جهت غیرفعال کردن آنزیم‌های قارچ و همچنین حذف مواد رنگی، چربی و الیگوساقاریدها، پودر قارچ ۳ بار با اثانول ۶۰ درصد با دمای ۶۰ درجه سانتی‌گراد به

### ۳-۲- طرح آزمایش‌ها و تجزیه و تحلیل آماری

جهت بررسی شرایط مناسب استخراج پلی‌ساکارید (زمان استخراج، دمای استخراج و توان فراصوت)، با انجام آزمایش‌های مقدماتی، محدوده متغیرها با توجه به اهداف مورد نظر یعنی بیشینه نمودن میزان استخراج تعیین گردید. به‌منظور بهینه‌سازی فرایند استخراج پلی‌ساکارید از قارچ خوراکی صدفی (*Pleurotus ostreatus*)، از طرح باکس بنکن (BBT) استفاده شد. در این تحقیق سه متغیر مستقل شامل میزان توان امواج فراصوت ( $X_1$  در محدوده ۴۰-۸۰ درصد)، زمان استخراج ( $X_2$  در محدوده ۱۰-۳۰ دقیقه) و دمای استخراج ( $X_3$  در محدوده ۵۰-۸۰ درجه سانتی‌گراد) هر کدام در سه سطح در نظر گرفته شد (جدول ۱). پس از انجام آزمون‌های پیشنهادی مطابق نرم افزار دیزاین اکسپرت<sup>۱</sup> نسخه ۱۱ (جدول ۲)، مدل‌سازی براساس نتایج آزمون‌های اصلی صورت پذیرفت و شکل‌های سه بعدی جهت بررسی روند تغییرات رسم شدند.

در روش سطح پاسخ برای هر متغیر وابسته مدلی تعریف می‌شود که آثار اصلی و اثرات متقابل احتمالی بین فاكتورها را بر هر ویژگی مورد مطالعه جداگانه بررسی می‌کند. مدل مورد استفاده در این تحقیق رابطه درجه دوم می‌باشد که به صورت زیر نمایش داده می‌شود.

معادله ۴

$$Y = \beta_0 + \beta_1 X_1 + \beta_2 X_2 + \beta_3 X_3 + \beta_{12} X_1 X_2 + \beta_{13} X_1 X_3 + \beta_{23} X_2 X_3 + \beta_{11} X_1^2 + \beta_{22} X_2^2 + \beta_{33} X_3^2$$

در این معادله  $Y$  ویژگی مورد مطالعه،  $\beta$ . ثابت مدل،  $\beta_1$ ،  $\beta_2$  و  $\beta_3$  ضرایب خطی،  $X_i$  و  $Z_j$  متغیرهای مستقل در شکل کد شده،  $\beta_{12}$ ،  $\beta_{13}$  و  $\beta_{23}$  اثر متقابل متغیرها و  $\beta_{11}$ ،  $\beta_{22}$  و  $\beta_{33}$  ضریب درجه دوم متغیرهای مستقل می‌باشد [۲۲]. جدول ۱ متغیرهای مستقل فرآیند و مقادیر آن‌ها را نشان می‌دهد.

مخلوط شد. محلول به مدت ۳۰ دقیقه در ۳۷ درجه سانتی‌گراد نگهداری شد. ماکریم جذب در ۵۶۲ نانومتر اندازه‌گیری شد. مخلوط مشابهی حاوی آنتی‌اکسیدان ستزی BHT و فاقد پلی‌ساکارید به عنوان نمونه شاهد تهیه شد. درصد مهار رادیکال هیدروکسیل به کمک رابطه زیر تعیین گردید:

$$DPPH (\%) = 1 - \frac{A_1}{A_0} \times 100$$

معادله ۲

$A_0$ : میزان جذب مخلوط بدون پلی‌ساکارید در طول ۵۶۲ نانومتر

$A_1$ : میزان جذب مخلوط حاوی پلی‌ساکارید در طول ۵۶۲ نانومتر

### ۲-۲-۲- سنجش قدرت پلی‌ساکارید در مهار رادیکال DPPH

ارزیابی خاصیت جذب رادیکال آزاد پلی‌ساکارید استخراج شده با استفاده از روش بلیوس [۲۴] با کمی تغییرات انجام گرفت. پس از آماده‌سازی محلول DPPH (۰/۱ میلی مول در متانول)، ۱ میلی‌لیتر از این محلول به مقدار ۳ میلی‌لیتر از محلول متانولی حاوی غلظت‌های مختلف پلی‌ساکارید (۵۰ تا ۳۰۰ ppm) اضافه شد. بعد از گذشت ۳۰ دقیقه، میزان جذب مخلوط در ۵۱۷ نانومتر توسط اسپکتروفتوometri (مدل Genesys، ساخت آمریکا) اندازه‌گیری شد. مخلوط مشابه حاوی اسید آسکوربیک به عنوان نمونه شاهد تهیه گردید. میزان جذب کمتر مخلوط واکنش، نشان دهنده فعالیت بیشتر جذب رادیکال‌های آزاد می‌باشد. درصد مهار رادیکال DPPH با استفاده از رابطه زیر تعیین گردید:

$$DPPH (\%) = 1 - \frac{A_1}{A_0} \times 100$$

معادله ۳

$A_0$ : میزان جذب مخلوط بدون پلی‌ساکارید در طول ۵۱۷ نانومتر

$A_1$ : میزان جذب مخلوط حاوی پلی‌ساکارید در طول ۵۱۷ نانومتر

1. Design Expert

**Table 1** Coded and uncoded levels of independent variables according to the CCD

Indipendent variables	Symbol	Coded levels		
		-1	0	+1
Extraction ultrasonic power (%)	X <sub>1</sub>	40	60	80
Extraction temperature (°C)	X <sub>3</sub>	50	65	80
Extraction time (min)	X <sub>2</sub>	10	20	30

**Table 2** Experimented and predicted yield values of extracted soluble polysaccharide from *Pleurotus ostreatus* obtained from BBD design

Sample No.	Extraction power (%)	Extraction temperature (°C)	Extraction time (°C)	Experimented values	Predicted values
1	40	50	20	14.87	14.93
2	40	65	30	15.91	16.08
3	40	80	20	15.18	15.12
4	40	65	10	15.28	15.19
5	60	80	30	16.11	16.11
6	60	65	20	17.46	17.71
7	60	80	10	15.12	15.32
8	60	50	30	15.78	15.97
9	60	65	20	18.01	17.90
10	60	65	20	17.64	17.81
11	60	65	20	17.83	17.96
12	60	65	20	17.44	17.65
13	60	50	10	15.59	15.54
14	80	80	20	14.27	14.51
15	80	65	10	14.95	14.82
16	80	50	20	14.63	14.79
17	80	65	30	15.04	15.03

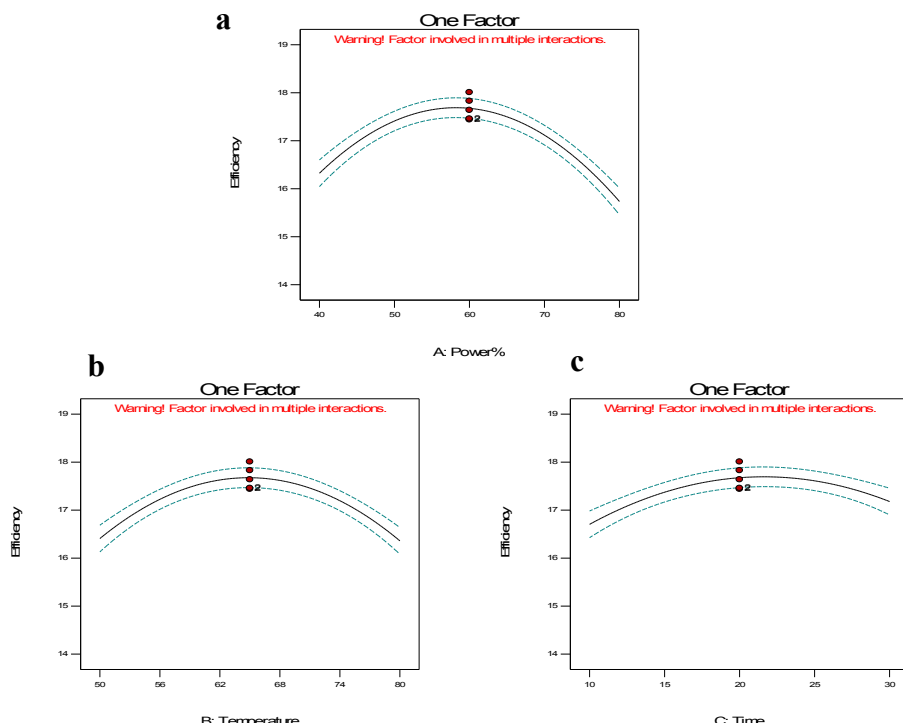
نگه داشته شدند را نشان می‌دهد. همان‌طور که در شکل a-1 می‌توان مشاهده نمود، با افزایش قدرت امواج تا حدود ۶۵ درصد توان دستگاه، میزان بازده پلی‌ساکارید استحصالی افزایش یافت اما در توان‌های بالاتر کاهش یافت. دلیل افزایش راندمان هنگام به کارگیری سطوح مناسب امواج آن است که با عبور امواج صوت از میان محیط مایع، حباب‌های زیادی ایجاد می‌شود. از طرفی دما و فشار در داخل حباب‌ها بسیار بالا بوده و حباب‌ها در مدت زمان خیلی کوتاه فرو می‌پاشند. شوک شدید امواج و سرعت بالای آنها، نفوذ حلال به داخل بافت‌های گیاهی را تسريع کرده و به‌این‌ترتیب مواد بین سلولی از طریق تجزیه دیواره سلولی رها شده و وارد حلال می‌شوند [۲۵]. در هر حال، استفاده از توان بالا نیز می‌تواند سبب تجزیه ترکیبات سلولی نظریر پلی‌ساکاریدها و در نتیجه کاهش راندمان استخراج گردد [۲۷].

### ۳- نتایج و بحث

#### ۳-۱- تعیین تاثیر متغیرهای مستقل بر بازده استخراج پلی‌ساکارید از قارچ خوراکی صدفی

##### ۳-۱-۱- تاثیر توان امواج فراصوت

توان امواج از فاکتورهای موثر بر استخراج پلی‌ساکاریدها به روش فراصوت می‌باشد. در تحقیقات متعدد از روش فراصوت به منظور تسريع فرایند استخراج بویژه در دمای پایین جهت جلوگیری از تغییرات ساختاری و مولکولی پلی‌ساکاریدهای استخراجی و حفظ خواص زیستی آن‌ها استفاده شده است [۲۵-۲۸]. شکل a-1 اثر توان‌های مختلف بر بازده استخراج پلی‌ساکارید از قارچ خوراکی صدفی را در حالی که دو متغیر دیگر یعنی زمان و دمای استخراج در نقطه مرکزی ثابت



**Fig 1** Effect of different percentage of ultrasonic power (a), temperature (b) and time (c) on the yield of extracted soluble polysaccharide from *Pleurotus ostreatus*

توانهای بالاتر از آن تأثیری در این زمینه ندارد [۳۱]. امواج فراصوت می‌توانند از طریق ایجاد حباب‌های میکروسکوپی تأثیرگذار باشد. نوع و تعداد حباب‌های ایجاد شده و فروپاشی شده، بستگی مستقیم به شدت امواج فراصوت دارد. حباب‌های فروپاشی شده، گرادیان‌های برشی بالا و شوک‌های مکانیکی بوجود می‌آورند که باعث فروپاشیدن دیواره‌های سلولی می‌شود. به این ترتیب امواج فراصوت با تأثیر بر میزان نفوذ حلال به سلول‌ها، خروج اجزاء از سلول به حلال را شتاب بخشیده و در نتیجه سرعت انتقال جرم را افزایش می‌دهد [۲۶].

### ۲-۱-۳- تأثیر دمای استخراج

شکل ۱- b-۱ تأثیر دمای‌های مختلف امواج دهنی را بر راندمان استخراج پلی‌ساقارید از قارچ خوراکی صدقی نشان می‌دهد. در این حالت زمان امواج دهنی و توان امواج فراصوت به ترتیب در نقطه مرکزی ۲۰ دقیقه و ۶۵ درصد توان دستگاه ثابت نگه داشته شدند. همان‌طور که در شکل ۱- b-۱ نشان داده شده است، بازده استخراج پلی‌ساقارید به طور خطی با افزایش دما تا حدود ۶۵ درجه سانتی‌گراد افزایش یافت. دلیل افزایش راندمان با افزایش دما آن است که دمای بالا سبب کاهش ویسکوزیته، تسریع حرکت مولکولی و افزایش ضربی هدایت حلال به داخل ماده جامد می‌شود؛ در نتیجه سبب افزایش حلالیت و انتشار مواد گیاهی مورد هدف به داخل محلول و

نتایج پژوهش حاضر با نتایج تهموزی [۲۸] و جوینده و همکاران [۲۹] مطابقت داشت. تهموزی اثر توان امواج فراصوت در محدوده ۱۰۰ تا ۲۷۵ وات را بر میزان استخراج پلی‌ساقارید از برگ درخت بلوط مورد بررسی قرار داد و مشاهده نمود که با افزایش توان امواج فراصوت، راندمان استخراج بیشتر می‌شود. وی دلیل افزایش راندمان را افزایش ضربی انتشار پلی‌ساقاریدها و افزایش حلالت آنها در توانهای بالا عنوان نموده است. جوینده و همکاران [۲۹] نیز در بررسی تعیین شرایط بهینه استخراج پلی‌ساقارید از میوه گیاه قره‌قاط با استفاده از امواج فرداصوت در محدوده ۶۰-۱۴۰ وات نشان دادند که با افزایش توان ابتدا میزان استخراج افزایش می‌یابد اما در صورت بهره‌گیری از توانهای بالاتر میزان استخراج پلی‌ساقارید کاهش می‌یابد. یانگ گوآنگ و همکاران (۲۰۱۲) اثر توان ۱۸۰ تا ۴۳۰ وات را بر نوعی گیاه دارویی به نام آترکتیس بررسی نمودند و نشان دادند که با افزایش توان، راندمان استخراج به دلیل پدیده حفره‌زایی یا کاویتاسیون<sup>۱</sup> افزایش می‌یابد [۳۰]. Zou و همکاران تأثیر توان امواج فرداصوت بر میزان بازده استخراج پلی‌ساقارید از گیاه دارویی کاننوپسیس پیلوسلا<sup>۲</sup> را بررسی نمودند و گزارش نمودند که با افزایش توان تا ۳۲۰ وات راندمان افزایش یافته اما استفاده از

1. Cavitation

2. *Codonopsis pilosula*

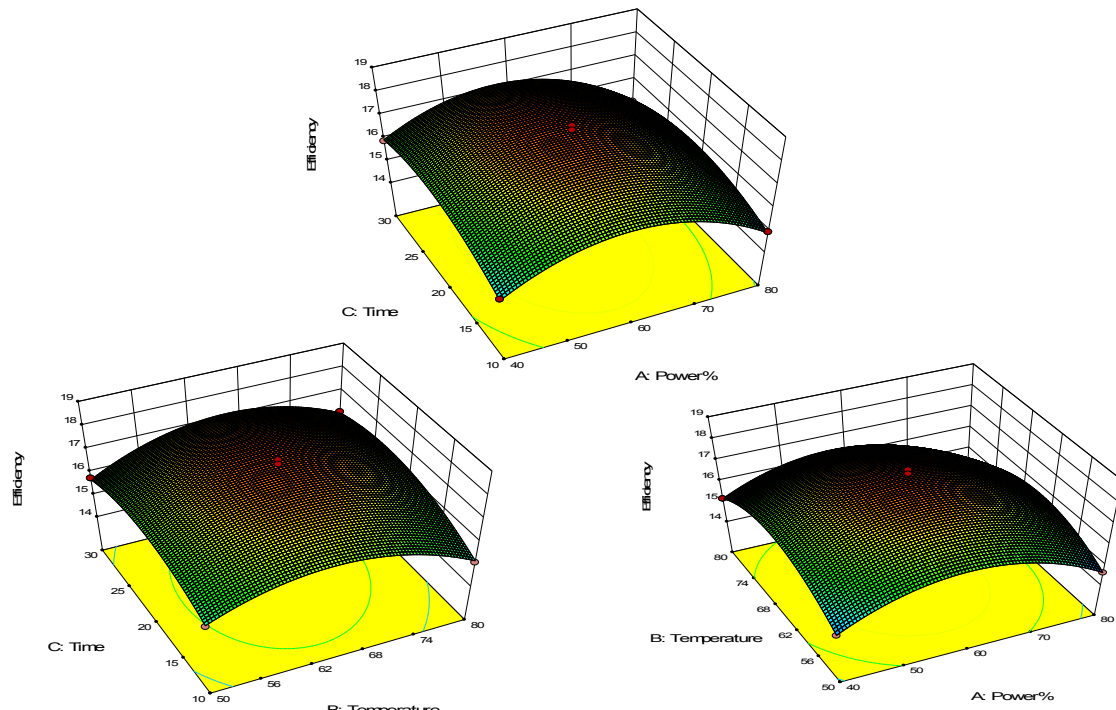
استخراج پلی‌ساقارید *intestinalis* با استفاده از امواج فراصوت گزارش نمودند که میزان راندمان استخراج با افزایش دما از  $30^{\circ}\text{C}$  به  $90^{\circ}\text{C}$  درجه سانتی‌گراد به طور قابل توجهی افزایش می‌یابد و از  $2/68$  به  $8/57$  درصد می‌رسد. در هرحال برخلاف نتایج فوق، وانگ و همکاران وی راندمان بسیار بالاتر استخراج پلی‌ساقارید را در دمای محیط و شرایط قلیابی نسبت به استخراج با آب داغ  $90^{\circ}\text{C}$  درجه سانتی‌گراد گزارش نمودند [۱۴].

### ۳-۱-۳- تأثیر زمان استخراج

شکل ۱-۱ تأثیر زمان امواج دهی در سطوح مختلف را بر بازده استخراج پلی‌ساقارید از قارچ خوراکی صدفی نشان می‌دهد؛ ضمن آنکه دو متغیر دیگر یعنی دمای استخراج و توان امواج فراصوت به ترتیب در نقطه مرکزی  $65^{\circ}\text{C}$  درجه سانتی‌گراد و  $60\text{ min}$  درصد ثابت نگاه داشته شدند. همان‌طور که در شکل ۱-۱ مشاهده می‌شود، با افزایش زمان از  $10\text{ min}$  به  $30\text{ min}$ ، راندمان استخراج افزایش یافت. این وضعیت به دلیل افزایش در معرض قرار گرفتن پلی‌ساقاریدها در محیط آبی و نفوذ آب به ماده خام خشک می‌باشد که سبب افزایش میزان پلی‌ساقاریدها حل شده و خروج آن از ماده خام به طریق انتشار می‌گردد. علاوه بر این افزایش دمای استخراج، حلالیت پلی‌ساقاریدها را افزایش خواهد داد و درجه بالاتری از استخراج را ارائه می‌کند [۳۲].

افزایش راندمان استخراج می‌شود. اگرچه ثابت شده است افزایش دما، محدودیت‌هایی هم دارد و علاوه بر اینکه هزینه استخراج افزایش می‌یابد اثر معکوس در راندمان دارد و می‌تواند سبب کاهش بازده شود زیرا ترکیبات مورد هدف تجزیه شده و درنتیجه ناخالصی و مواد نامحلول نیز وارد عصاره می‌شود [۳۲].

در پژوهشی که توسط Wang و همکاران روی پلی‌ساقاریدهای یک نوع گیاه دارویی ترمیمیس صورت گرفت افزایش دما از  $40^{\circ}\text{C}$  به  $60^{\circ}\text{C}$  درجه سانتی‌گراد سبب افزایش راندمان استخراج شد. افزایش دما سبب افزایش انتشار پلی‌ساقاریدها و افزایش حلایت آنها می‌شود که با نتایج بدست آمده در این تحقیق و سایر پژوهش‌های انجام شده مطابقت داشت [۳۳]. Chen و همکاران اثر دمایهای مختلف را بر راندمان استخراج پلی‌ساقارید از قارچ خوراکی مورد بررسی قرار دادند و به این نتیجه رسیدند با افزایش دما تا  $60^{\circ}\text{C}$  درجه سانتی‌گراد راندمان افزایش می‌یابد [۳۵]. این محققین علت افزایش راندمان استخراج هنگام افزایش دما را کاهش ویسکوزیته عنوان نمودند چراکه در این شرایط حلال بهتر به داخل ماتریکس جامد نفوذ می‌کند و درنتیجه انتقال جرم سریعتر و آسان‌تر صورت می‌گیرد. همچنین رحیمی و همکاران [۳۶] در تحقیقی در مورد بررسی شرایط استخراج پلی‌ساقارید از جلبک E.



**Fig 2** Response surface plots showing the significant interaction effects of different variables on the yield of extracted soluble polysaccharide from *Pleurotus ostreatus*

متغیرها را در قالب نمودار سه بعدی مشاهده کرد. شکل ۲ نمودارهای سه بعدی سطح مربوط به اثرات متقابل متغیرهای مورد آزمون را بر میزان راندمان پلی‌ساقارید استخراج شده نشان می‌دهد. با توجه به نتایج ارایه شده در جدول ۳، تمامی اثرات متقابل معنی‌دار گردید و تمامی متغیرهای مورد بررسی توان-زمان، دما-زمان و توان-دما بر کارایی استخراج پلی‌ساقارید اثری افزایشی داشتند (شکل ۲). شکل ۲ a-۲ نمودار سه بعدی سطح پاسخ اثر متقابل توان و زمان را هنگامی که دما در نقطه مرکزی ( $65^{\circ}\text{C}$ ) ثابت نگهداشته شده است نشان می‌دهد. همان‌گونه که قبل اشاره گردید، علت افزایش میزان استخراج پلی‌ساقارید در نتیجه‌ی افزایش همزمان توان امواج و زمان استخراج به ترتیب به دلیل افزایش کاویتاسیون حباب‌های تشکیل شده و انتقال جرم می‌باشد. شکل ۲ b-۲ نمودار سه بعدی سطح پاسخ اثر متقابل زمان و دما را هنگامی که توان در نقطه مرکزی (۶ درصد) ثابت نگهداشته شده است نشان می‌دهد. همان‌طوری که می‌توان مشاهده نمود، دو متغیر مذکور به طور همزمان و تا حدی معین سبب افزایش میزان استخراج گردیده‌اند. نمودار ۲-۲ نیز به طور مشابه، اثر افزایشی دو متغیر توان و دما را هنگامی که زمان در نقطه مرکزی (۲۰ min) ثابت نگهداشته شده است نشان می‌دهد.

نتایج تحقیق حاضر با نتایج Wang و همکاران [۳۳] همخوانی داشت. این افراد افزایش راندمان استخراج پلی‌ساقارید از گیاه تراپتیس روینیوفیلا را همگام با افزایش زمان استخراج با کمک امواج فراصوت گزارش نمودند. در هر حال، بر اساس نتایج این محققین، استفاده از زمان‌های بالاتر سبب تجزیه پلی‌ساقاریدها به دلیل ناپایداری در برابر حرارت می‌گردید. Wang و Zhong نیز نشان دادند که با افزایش زمان امواج دهی، راندمان استخراج پلی‌ساقاریدها از پالپ میوه لانگان افزایش می‌یابد [۳۴]. این محققین دلیل افزایش راندمان را به شکل‌گیری تعداد بیشتر حباب‌های کاویتاسیون و افزایش انتقال جرم نسبت دادند. در هر حال، برخلاف نتایج تحقیق حاضر، یانگ-گوانگ و همکاران گزارش نمودند که افزایش زمان امواج دهی تاثیر چندانی بر بازده استخراج ندارد چرا که هرچند با افزایش زمان امواج دهی میزان استخراج افزایش می‌یابد اما به دلیل هیدرولیز پلی‌ساقاریدها راندمان استخراج درنهایت تغییری نمی‌کند [۳۰].

#### ۳-۱-۴- بررسی اثر متقابل متغیرهای مورد بررسی بر بازده استخراج پلی‌ساقارید

در به کار گیری طراحی آزمایش، علاوه بر امکان پیش‌بینی مقدار بهینه‌ی متغیرها و نیز بررسی جداگانه‌ی اثر هر کدام از آن‌ها در راندمان استخراج، می‌توان برهمکنش‌های موجود بین

**Table 3** Analysis of variance (ANOVA) for response surface quadratic polynomial model

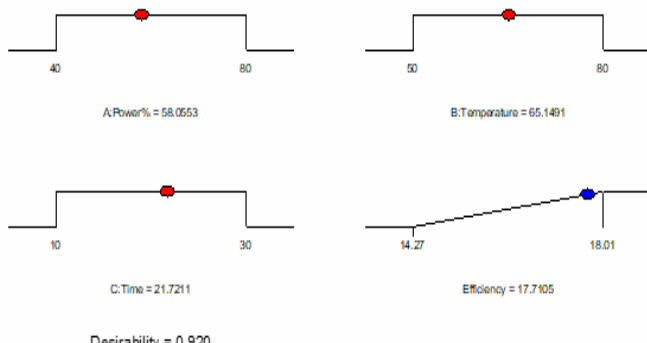
Source	Sum of Squares	df	Mean Square	F Value	p-value
Model	24.34	9	2.70	70.99	< 0.0001***
A: Ultrasonic power	0.69	1	0.69	18.12	0.0038**
B: Extraction temperature	0.0045	1	0.0045	0.12	0.7408ns
C: Sonication time	0.45	1	0.45	11.84	0.0108*
AB	0.11	1	0.11	2.95	0.1298 ns
AC	0.073	1	0.073	1.91	0.2091 ns
BC	0.16	1	0.16	4.20	0.0796 ns
$A^2$	11.42	1	11.42	299.69	< 0.0001***
$B^2$	7.03	1	7.03	184.41	< 0.0001***
$C^2$	2.27	1	2.27	59.58	0.0001***
Residual	0.27	7	0.038		
Lack of Fit	0.028	3	0.009	0.16	0.9212 ns

Behnken در جدول ۲ نشان داده شده است. چنان‌که مشاهده می‌شود، مقادیر تجربی اندازه‌گیری شده با مقادیر پیش‌بینی شده تطابق بالایی را نشان می‌دهند. با توجه به نتایج بدست آمده

#### ۲-۳- آنالیز آماری و بررسی کارآمدی مدل

نتایج بازده استخراج پلی‌ساقارید اندازه‌گیری و پیش‌بینی شده مربوط به ۱۷ آزمایش انجام شده براساس مدل طرح-Box

شرایط بهینه شامل توان امواج فرماحتوت ۳۳۷ وات (معادل ۵۸/۰۶ درصد)، زمان امواج دهی ۲۱/۷۲ دقیقه و دمای استخراج ۶۵/۱۵ درجه سانتی‌گراد باعث بیشترین بازده (۱۷/۷۱ درصد) استخراج گردید (شکل ۳). برخلاف نتایج بهدست آمده در این تحقیق، Kan و همکاران [۱۱] میزان راندمان پلی‌ساکارید استخراج شده از قارچ جان‌افرا (*Ganoderma lucidum*) در شرایط بهینه را بسیار پایینتر و مقدار ۲/۴۴ درصد و Zhang و همکاران [۱۲] مقدار راندمان پلی‌ساکارید استخراجی از قارچ شاه صدف (*Pleurotus eryngii*) بسیار بالاتر و مقدار ۳۴/۳ درصد گزارش نمودند. در هر حال در اکثر تحقیقات انجام شده در زمینه استخراج پلی‌ساکارید از گیاهان و انواع مختلف جلبک و قارچ، میزان راندمان پلی‌ساکارید استخراجی در محدوده نتایج بهدست آمده در این تحقیق گزارش شده است که از جمله می‌توان به میزان راندمان قارچ گوش ژله‌ای (*Auricularia auricula*) با ۱۰/۴۶ درصد [۱۳]. جلبک *E. intestinalis* با ۸/۵۷ درصد [۳۶]، میوه قره‌قاط با ۱۳/۶۱ درصد و سرشاخه گل‌دار گیاه گل راعی با راندمان ۶/۶۹ درصد [۳۷] اشاره نمود.



**Fig 3** Schematic representation of the optimum values of factors, response and the corresponding levels

همچنین برای بررسی درستی و صحت نتایج حاصل از مدل، در شرایط آزمایشگاه در نقاط بهینه‌ای که نرم افزار داده بود یک آزمایش در ۳ تکرار انجام شد که نتایج آن در جدول ۴ آورده شده است. طبق این جدول، راندمان تجربی بین ۱۷/۵۸ درصد و راندمان پیش‌بینی شده ۱۷/۷۱ درصد شد. همانطور که مشاهده می‌شود اختلاف چندانی میان نتیجه پیش‌بینی شده توسط مدل و نتیجه بهدست آمده از کار آزمایشگاهی مشاهده نمی‌شود.

در جدول ۲، بیشترین بازده استخراج در صورت به کارگیری ۶۰ درصد توان امواج فرماحتوت در دمای ۶۵°C و مدت زمان ۲۰ دقیقه به دست خواهد آمد. مطابق نتایج آنالیز داده‌ها (جدول ۳)، میزان بازده استخراج پلی‌ساکارید از قارچ خوراکی صدفی با تابع درجه دوم سه متغیر مورد بررسی در ارتباط بود و همگن تأثیر معنی‌داری بر بازده استخراج داشتند (p<0.01). به عبارت دیگر، با توجه به ضرایب به دست آمده، رابطه غیرخطی بین متغیرهای مستقل و بازده استخراج پلی‌ساکارید برقرار می‌باشد. همچنین، بر اساس نتایج آنالیز واریانس داده‌ها، مقادیر عددی  $R^2$  و  $R^2\text{-adj}$  و  $\text{PRESS}$  به ترتیب  $0.989$  و  $0.975$  و  $0.967$  تعیین شد. مقادیر عددی  $R^2$  و  $R^2\text{-adj}$  حاکی از این موضوع است که مدل رگرسیون تا چه حد می‌تواند تعیین کننده انحراف داده‌ها باشد و هر چه این مقادیر به واحد نزدیک باشد، پاسخ به دست آمده از مدل تجربی، به اعداد واقعی نزدیکتر است. همچنین مقادیر CV و  $\text{PRESS}$  به ترتیب  $1.22$  و  $0.82$  به دست آمد. بنابراین، با توجه به نتایج پارامترهای آماری حاصل از برازش مدل درجه‌ی دوم بر داده‌های تجربی می‌توان چنین نتیجه‌گیری کرد که معادله پیشنهادی به خوبی می‌تواند ارتباط بین متغیرهای استخراج (دمای استخراج، زمان استخراج و توان امواج فرماحتوت) و بازده پلی‌ساکارید استخراج شده از قارچ خوراکی صدقی را نشان دهد. با استفاده از روش آماری سطح پاسخ، معادله  $Y = -25/0.829 + 0/0.5291X_1 + 0/0.7516X_2 + 0/0.2713X_3 - 0/0.007X_1X_2 - 0/0.007X_1X_3 + 0/0.0013X_2X_3 - 0/0.0041X_1^2 - 0/0.0057X_2^2 - 0/0.0073X_3^2$  می‌توان بازده استخراج پلی‌ساکارید به دست آمد که ارتباط تجربی بین میزان بازده پلی‌ساکارید استخراجی و متغیرهای آزمایش را نشان می‌دهد.

معادله ۵

$$Y = -25/0.829 + 0/0.5291X_1 + 0/0.7516X_2 + 0/0.2713X_3$$

$$- 0/0.007X_1X_2 - 0/0.007X_1X_3 + 0/0.0013X_2X_3$$

$$- 0/0.0041X_1^2 - 0/0.0057X_2^2 - 0/0.0073X_3^2$$

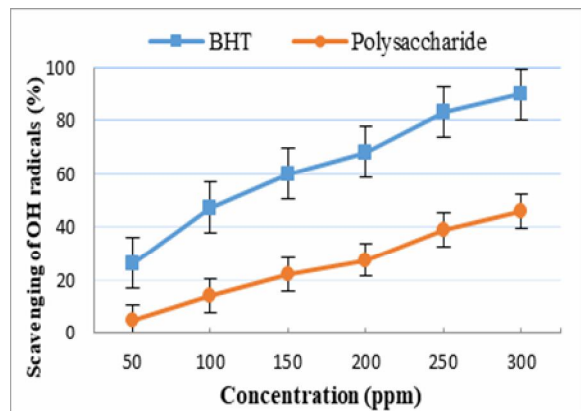
### ۳-۳-۳- بهینه‌یابی فرآیند استخراج پلی‌ساکارید

شرایط عملیاتی بهینه برای استخراج پلی‌ساکارید از قارچ خوراکی صدقی با استفاده از تکنیک بهینه سازی عددی با نرم افزار Design-Expert نسخه ۱۱ بررسی گردید. بدین منظور در ابتدا شرایط بهینه توسط نرم افزار انتخاب گردید.

**Table 4** Performance of models in predicting the yield of extracted soluble polysaccharide from *Pleurotus ostreatus*

Optimized conditions			Extraction yield		
Ultrasonic power (%)	Extraction temperature (°C)	Sonication time (min)	Experimented	predicted	Desirability
58.06	65.15	21.72	17.58 ± 0.19	17.71	0.92

[۴۱] و پلی‌ساکارید استخراج شده از برگ *Cordia myxa* [۴۲] در غلظت مشابه ۳۰۰ ppm درصد [۴۲] بود.



**Fig 4** Capability of extracted soluble polysaccharide from *Pleurotus ostreatus* on scavenging of OH radicals at different concentrations

#### ۴-۲-۴-۳- تعیین توانایی جذب رادیکال DPPH

DPPH، رادیکال آزاد پایداری است که به طور گستردگی عنوان ابزاری برای تعیین مهار رادیکال آزاد، توسط پلی‌ساکاریدها پذیرفته شده است [۴۳]. خواص آنتی‌اکسیدانی پلی‌ساکارید استخراجی از قارچ خوراکی صدفی در توانایی مهار یا جذب رادیکال‌های DPPH در شکل ۵ نشان داده شده است. چنان‌که در شکل ۵ مشاهده می‌شود، فعالیت جذب رادیکال DPPH با افزایش غلظت پلی‌ساکارید افزایش یافت. نتایج نشان داد که پلی‌ساکارید استخراج شده از قارچ خوراکی صدفی ظرفیت آنتی‌اکسیدان قابل قبولی داشته و توانسته است بر رادیکال‌های آزاد DPPH بویژه در غلظت‌های بالا تأثیر بگذارد. در هر حال، جذب رادیکال آزاد DPPH توسط اسید آسکوربیک به عنوان آنتی‌اکسیدان طبیعی بیشتر از پلی‌ساکارید بدست آمده در این تحقیق بود که نشان‌دهنده توانایی کمتر پلی‌ساکارید مورد مطالعه در شدت الکترون دهنگی آن می‌باشد [۴۹].

#### ۴-۳- ارزیابی ظرفیت آنتی‌اکسیدانی پلی‌ساکارید استخراج شده از قارچ خوراکی صدفی

#### ۴-۴-۳- تعیین توانایی جذب رادیکال‌های هیدروکسیل (OH)

در بین انواع اکسیژن‌های واکنش دهنده، رادیکال هیدروکسیل فعال‌ترین رادیکال آزاد است که به همه مولکول‌های زیستی با شروع واکنش‌های زنجیره‌ای رادیکال آزاد حمله می‌کند [۳۸]. رادیکال‌های هیدروکسیل می‌توانند تقریباً با همه مولکول‌های بزرگ زیستی حمل کننده در سلول‌های زنده واکنش دهند و آسیب جدی به مولکول‌های زیستی مجاور وارد کنند [۳۹]. با توجه به تعریف بالا، حذف رادیکال هیدروکسیل (OH) برای دفاع از سیستم‌های غذایی یا سلولی در برابر اکسیداسیون بسیار مهم است. با توجه به شکل ۴، ظرفیت آنتی‌اکسیدانی پلی‌ساکارید استخراج شده از قارچ خوراکی صدفی با توجه به توانایی جذب رادیکال‌های هیدروکسیل در غلظت‌های ppm ۳۰۰-۵۰ برسی گردید. همانطور که از شکل ۴ پیداست، توانایی جذب رادیکال‌های هیدروکسیل توسط پلی‌ساکارید استخراج شده از قارچ خوراکی صدفی وابسته به غلظت می‌باشد. همچنین، میزان مهارشدن رادیکال‌های هیدروکسیل توسط آنتی‌اکسیدان مصنوعی BHT در غلظت ۳۰۰ ppm درصد ۹۰ (درصد) می‌باشد که این میزان برای پلی‌ساکارید استخراج شده از قارچ خوراکی صدفی در غلظت مشابه، ۴۶ درصد است. توانایی جذب رادیکال هیدروکسیل توسط پلی‌ساکارید استخراج شده از قارچ خوراکی صدفی در این تحقیق کمتر از مقادیر گزارش شده برای پلی‌ساکارید استخراج شده از میوه Ziziphus lotus (۹۱ درصد) [۴۰]. پلی‌ساکارید استخراج شده از برگ Hibiscus rosa-sinensis (۶۰ درصد)

## ۴- نتیجه‌گیری کلی

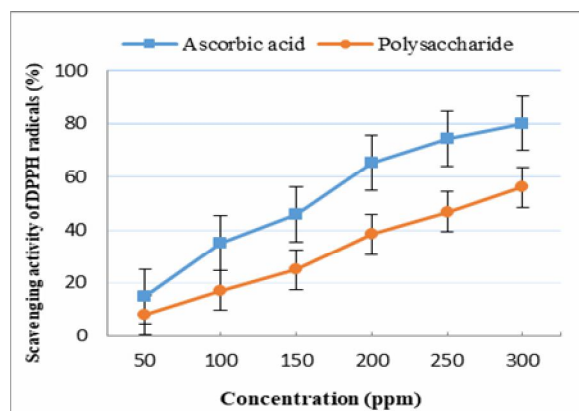
قارچ‌ها از دیرباز به لحاظ خواص دارویی در کشورهای شرق آسیا مورد توجه بوده‌اند به طوری که مردم این کشورها به طور سنتی از قارچ‌های خوراکی به عنوان اکسیر زندگی و تقویت کننده روح و جسم استفاده می‌کردند. امروزه به دلیل خواص غذایی و دارویی قابل توجه پلی‌ساقارید استخراج شده از قارچ صدفی *Pleurotus ostreatus* تولید آن در بسیاری از نقاط دنیا مورد توجه قرار گرفته است. بنابراین این تحقیق به منظور بررسی میزان راندمان پلی‌ساقارید محلول در آب استخراجی از قارچ صدفی در شرایط مختلف استخراج و با کمک امواج فراصوت انجام پذیرفت. نتایج نشان داد مدل به دست آمده در این پژوهش از  $R^2$  و  $Adj-R^2$  بالا و معنی‌دار و C.V. (ضریب تغییرات) پایین و PRESS مناسبی برخوردار بوده و آزمون عدم برازش معنی‌دار نگردید که نشان‌دهنده کارایی مدل ارئه شده در پیش‌بینی پارامترهای مورد ارزیابی است. همچنین اختلاف چندانی میان مقادیر بازده استخراج تجربی و پیش‌بینی شده وجود نداشت و مدل توانست با مطلوبیت بسیار بالایی (۹۲/۰ درصد) نتایج تجربی را به خوبی پیش‌بینی کند. هر چند ویژگی آنتی‌اکسیدانی پلی‌ساقارید مطالعه در این تحقیق در مقایسه با بسیاری از پلی‌ساقاریدهای استخراجی از گیاهان دارویی پایین‌تر می‌باشد، اما با توجه به قیمت بالای این پلی‌ساقارید (حدود ۱ دلار به ازاء هر گرم)، استخراج و تولید این پلی‌ساقارید به عنوان مکمل غذایی و سلامت‌بخش توصیه می‌گردد.

## ۵- سپاسگزاری

این مقاله مستخرج از طرح پژوهشی به شماره ۹۶۱/۰۱ است و نویسنده‌گان مقاله از معاونت پژوهشی دانشگاه علوم کشاورزی و منابع طبیعی خوزستان جهت حمایت‌های مالی و معنوی تشکر و قدردانی می‌نمایند.

## ۵- منابع

- [1] Lindequist, U., Niedermeyer, T.M.J., Jülich, W.D. (2005). The Pharmacological Potential of Mushrooms. *Evidence-based compl. Alt. Medicine*. 2, 285- 299.
- [2] Pan, Y., Dong, S., Hao, Y., Zhou, Y.,



**Fig 5** Antioxidant activity of extracted soluble polysaccharide from *Pleurotus ostreatus* in terms of scavenging activity of DPPH radicals at different concentrations

میزان جذب رادیکال DPPH در غلظت ۳۰۰ ppm توسط اسید آسکوربیک ۸۰ درصد بود درحالی که این میزان برای پلی‌ساقارید مورد مطالعه در این تحقیق در غلظت مشابه تنها ۵۶ درصد بود. میزان جذب رادیکال DPPH توسط پلی‌ساقارید استخراج شده از قارچ خوراکی صدفی کمتر از مقادیر گزارش شده برای پلی‌ساقارید استخراج شده از میوه Assyrian pulm (۸۵ درصد) [۴۴]، پلی‌ساقارید محلول در آب استخراج شده از *Spirulina platensis* (۷۸ درصد) [۱۰]، پلی‌ساقارید استخراج شده از برگ *Althaea rosea* (۸۴ درصد) [۴۵] و عصاره خام استخراج شده از برگ گیاه پنیرک یا *Malva neglecta* (۸۵ درصد) [۴۶] در غلظت ۳۰۰ ppm بود. هرچند خواص آنتی‌اکسیدانی قابل قبول پلی‌ساقارید استخراج شده می‌تواند به دلیل وجود ترکیبات اسید دی-گالاكتورونیک و نیز ترکیبات فنلی متصل به پلی‌ساقاریدها باشد [۴۷]، اما دلیل پایین بودن خواص آنتی‌اکسیدانی پلی‌ساقارید استخراج شده احتمالاً می‌تواند به دلیل روش استخراج مورد استفاده باشد چرا که در حین شستشو با آتانول، ترکیبات مهم آنتی‌اکسیدانی نظیر مواد فنولی آزاد کاهش قابل توجهی می‌یابد [۴۸]. در هر حال *Vamanu* [۴۹] در نتایج کاملاً مشابه و در بررسی خواص مهارشدنگی رادیکال‌های هیدروکسیل توسط نمونه‌های پلی‌ساقارید استخراج شده از میسلیوم دو واریته قارچ صدفی (*Pleurotus ostreatus*) مقدار پاییتر توانایی جذب رادیکال هیدروکسیل را در تمامی نمونه‌های پلی‌ساقارید استخراجی نسبت به اسید آسکوربیک گزارش نمودند.

- polysaccharides from *Auricularia auricula* fruiting bodies. *Food Sci. Technol.*, 35(3), 428-433.
- [14] Wang, P., Chen, D., Jiang, D., Dong, X., Chen, P., Lin, Y. (2014). Alkali extraction and in vitro antioxidant activity of *Monascus* mycelium polysaccharides. *J. Food Sci. Technol.*, 51(7), 1251-1259.
- [15] Bellettini, M.B., Fiorda, F.A., Maieves, H.A., Teixeira, G.L., Avila, S., Hornung, P.S., Junior, A.M., Ribani, R.H. (2016). Factors affecting mushroom *Pleurotus* spp. *Saudi J. Biol. Sci.*, In press, Available at: <http://dx.doi.org/10.1016/j.sjbs.2016.12.005>.
- [16] Savoie, J.M., Salmones, D., Mata, G., (2007). Hydrogen peroxide concentration measured in cultivation substrates during growth and fruiting of the mushrooms. *Agaricus bisporus* and *Pleurotus* spp. *J. Sci. Food Agric.* 87, 1337-1344.
- [17] Sanchez, C. (2010). Cultivation of *Pleurotus ostreatus* and other edible mushrooms. *Appl. Microbiol. Biotechnol.*, 85, 1321-1337.
- [18] Jedinak, A., Sliva, D. (2009). *Pleurotus ostreatus* inhibits proliferation of human breast and colon cancer cells through p53-dependent as well as p53-independent pathway. *Int. J. Oncol.*, 33(6), 1307-1313.
- [19] Bobek P., Galbavy, S. (1999). Hypocholesterolemic and antiatherogenic effect of oyster mushroom (*Pleurotus ostreatus*) in rabbits. *Nahrung.*, 43, 339-342.
- [20] Bobek P., Ozdin L., Kuniak L. (1995). Antioxidative effect of oyster mushroom (*Pleurotus ostreatus*) in hypercholesterolemic rat. *Pharmazie*, 50(6), 441-442.
- [21] Kunjadia P.D., Nagee A., Pandya P.Y., Mukhopadhyaya, P.N., Sanghvi, G.V. Dave, G.S. (2014). Medicinal and antimicrobial role of the oyster culinary-medicinal mushroom *Pleurotus ostreatus* (higher Basidiomycetes) cultivated on banana agrowastes in India. *Int. J. Med. Mushr.*, 16(3), 227-38.
- [22] Mazarei, F., Jooyandeh, H., Hojjati, M., Noshad, M. (2017). Polysaccharide of caper (*Capparis spinosa* L.) Leaf: Extraction, optimization, antioxidant potential and antimicrobial activity. *Int. J. Biol. Macromolec.*, 95, 224-231.
- [23] Zhong, K., Lin, W., Wang, Q., Zhou, S. (2012). Extraction and radicals scavenging activity of polysaccharides with microwave Ren, X., Wang, J., Wang, W., Chu, T. (2010). Ultrasonic-assisted extraction process of crude polysaccharides from Yunzhi mushroom and its effect on hydroxyproline and glycosaminoglycan levels. *Carbohydr. Polym.*, 81(1), 93-96.
- [3] Badalyan, S.M., Gharibyan, N.G., Kocharyan, A.E. (2007). Perspective in usage of bioactive substances of medicinal mushrooms in pharmaceutical and cosmetic industry. *Int. J. Med. Mushr.*, 9(3), 275-280.
- [4] Gao, Y., Lan, J., Dai, X., Ye, J., Zhou, Sh. (2004). A phase I/II study of Ling Zhi mushroom *Ganoderma lucidum* (W. curt.: Fr.) Lloyd (*Aphyllophoro mycetideae*) extract in patients with type II diabetes mellitus. *Int. J. Med. Mushr.*, 6(1), 33-9.
- [5] Zhang, H.N., Lin, Z.B. (2004). Hypoglycemic effect of *Ganoderma lucidum* polysaccharides. *Acta Pharmacol. Sin.*, 25, 191-195.
- [6] Hikino, H., Konno, C., Mirin, Y., Hayashi, T. (1985). Isolation and hypoglycemic activity of ganoderans A and B, glycans of *Ganoderma lucidum* fruit bodies. *Planta. Med.*, 51(4), 339 - 40.
- [7] Apel K, Hirt, H. (2004). Reactive oxygen species: metabolism, oxidative stress, and signal transduction. *Annu. Rev. Plant. Biol.*, 55, 373-99.
- [8] Shahidi, F., Zhong, Y. (2015). Measurement of antioxidant activity. *J. Funct. Foods*, 18, 757-781.
- [9] Halliwell, B., Aeschbach, R., Löliger, J., Aruoma, O.I. (1995). The characterization of antioxidants. *Food and Chem. Toxicol.*, 33(7), 601-617.
- [10] Kurd, F., Samavati, V. (2015). Water soluble polysaccharides from *Spirulina platensis*: Extraction and in vitro anti-cancer activity. *Int. J. Biol. Macromolec.*, 74, 498-504.
- [11] Kan, Y., Chen, T., Wu, Y., Wu, J., Wu, J. (2015). Antioxidant activity of polysaccharide extracted from *Ganoderma lucidum* using response surface methodology. *Int. J. Biol. Macromolec.*, 72, 151-157.
- [12] Zhang, A., Li, X., Chen, X., Yang, J., Sun, P. (2014). Antioxidant activity of polysaccharide extracted from *Pleurotus eryngii* using response surface methodology. *Int. J. Biol. Macromolec.*, 65, 28-32.
- [13] Zou, Y., Jiang, A., Tian, M. (2015). Extraction optimization of antioxidant

- using response surface methodology. *Carbohydr. Polym.*, 80, 19-25.
- [35] Chen, W., Wang, W.P., Zhang, H. Sh., Huang, Q. (2012). Optimization of ultrasonic-assisted extraction of water-soluble polysaccharides from *Boletus edulis* mycelia using response surface methodology. *Carbohydr. Polym.*, 87, 614-619.
- [36] Rahimi, F., Tabarsa, M., Rezaei, M. (2016). Ulvan from green algae *Ulvain testinalis*: Optimization of ultrasound-assisted extraction and antioxidant activity. *J. Appl. Phycol.*, 28, 2979–2990.
- [37] Heydarian, M., Jooyandeh, H., Nasehi, B., Noshad, M. (2017). Characterization of *Hypericum perforatum* polysaccharides with antioxidant and antimicrobial activities: Optimization based statistical modeling. *International Journal of Biological Macromolecules* 104 (2017) 287–293.
- [38] Barry, H., Susanna, C. (1993). Lipid peroxidation: Its mechanism, measurement and significance. *Am. J. Clin. Nutr.*, 57, 715–725.
- [39] Lai, F., Wen, Q., Li, L., Wu, H., Li, X. (2010). Antioxidant activities of water-soluble polysaccharide extracted from mung bean (*Vigna radiata* L.) hull with ultrasonic-assisted treatment. *Carbohydr. Polym.*, 81, 323–329.
- [40] Adeli, M., Samavati, V. (2015). Studies on the steady shear flow behavior and chemical properties of water-soluble polysaccharide from *Ziziphus lotus* fruit. *Int. J. Biol. Macromolec.*, 72, 580–587.
- [41] Afshari, K., Samavati, V., Shahidi S.A. (2015). Ultrasonic-assisted extraction and in-vitro antioxidant activity of polysaccharide from *Hibiscus* leaf. *Int. J. Biol. Macromolec.*, 74, 558–567.
- [42] Samavati, V., Lorestan, M. & Joolazadeh, S. (2014). Identification and characterization of hydrocolloid from *Cordia myxa* leaf. *Int. J. Biol. Macromolec.*, 65, 215–221.
- [43] Tian, Y., Zeng, H., Xu, Z., Zheng, B., Lin, Y., Gan, C., Martin Lo, Y. (2012). Ultrasonic-assisted extraction and antioxidant activity of polysaccharides recovered from white button mushroom (*Agaricus bisporus*). *Carbohydr. Polym.*, 88, 522–529.
- [44] Samavati, V., Skandari, F. (2014). Recovery, chemical and rheological characterization of gum from *Assyrian pulm.*
- extraction from mung bean hulls. *Int. J. Biol. Macromolec.*, 51, 612–617.
- [24] Blilos, M.S. (1958). Antioxidant determinants by the use of a stable free radical. *Nature.*, 26, 1199-1200.
- [25] Solisova, M., Toma, S., Mason, T.J. (1997). Comparision of conventional and ultrasonically assisted extractions of pharmaceutically active compounds from *Solvia officinalis*. *Ultrason. Sonochem.*, 4, 131-134.
- [26] Khan, M.K., Abert-Vian, M., Fabiano-Tixer, A.S., Dangles, O., Chemat, F. (2010). Ultrasound assisted extraction of polyphenols (flavanone glycosides) from orange (*Citrus sinensis* L.) peel. *Food Chem.*, 119(2), 851–858.
- [27] Li H., Pordesimo L., Weiss J., (2004). High intensity ultrasound-assisted extraction of oil from soybeans. *Food Res. Int.*, 37, 731–738.
- [28] Tahmouzi, S. (2014). Optimization of polysaccharides from Zagros oak leaf using RSM: Antioxidant and antimicrobial activities. *Carbohydr. Polym.*, 106, 238–246.
- [28] Jooyandeh, H., Noshad, M., Khamirian, R.A. (2018). Modeling of ultrasound-assisted extraction, characterization and in vitro pharmacological potential of polysaccharides from *Vaccinium arctostaphylos* L. 2017. *Int. J. Biol. Macromol.*, 107, 938-948.
- [30] Yong-guang, B., Ding-long, H., XIAO-jun, Y., Yu-min, L., Min-xia, H. (2012). Study on ultrasonic-assisted extraction of polysaccharide of *Atractylis macrocephala koidz* of experiment, *Energy Procedia*, 7, 1778–1785.
- [31] Zou, Y., Chen, X., Yang, W., Liu, Sh. (2011). Response surface methodology for optimization of the ultrasonic extraction of polysaccharides from *Codonopsis pilosula*, *Carbohydr. Polym.*, 84, 503–508.
- [32] Samavati, V. (2013). Polysaccharide extraction from *Abelmoschus esculentus*: Optimization by response surface methodology. *Carbohydr. Polym.*, 95, 588-598.
- [33] Wang, Y., Liua, Y., Hu, Y. (2014). Optimization of polysaccharides extraction from *Trametes robbiniophila* and its antioxidant activities. *Carbohydr. Polym.*, 93, 47–56.
- [34] Zhong, K., Wang, Q. (2010). Optimization of ultrasonic extraction of polysaccharides from dried longan pulp

- extracted from *Ulva pertusa* (Chlorophyta). *J. Med. Plants Res.*, 4(23), 2445-2451.
- [48] Balasundram, N., Sundram K., Samman S. (2006). Phenolic compounds in plants and agri-industrial by-products: Antioxidant activity, occurrence, and potential uses. *Food Chem.*, 99, 191–203.
- [49] Vamanu, E. (2012). Biological activities of the polysaccharides produced in submerged culture of two edible *Pleurotus ostreatus* mushrooms. *J. Biomed. Biotechnol.*, Article ID 565974, 1-8.
- Int. J. Biol. Macromolec.*, 67, 172–179.
- [45] Eskandari, M., Samavati, V. (2015). Sono-assisted extraction of alcohol-insoluble extract from *Althaea rosea*: Purification and chemical analysis. *Int. J. Biol. Macromolec.*, 72, 347–355.
- [46] Jooyandeh, H., Samavati, V. (2017). Extraction of crude extract from *Malva neglecta* leaves and evaluation of its free radical scavenging activities. *Iranian Food Sci. Technol. Res. J.*, 13(1), 167-179.
- [47] Qi, H., Liu, X., Ma, J., Zhang, Q., Li, Z. (2010). In vitro antioxidant activity of acetylated derivatives of polysaccharide

## **Extraction of polysaccharide from *Pleurotus ostreatus* by ultrasound and evaluation of its antioxidant activity**

**Jooyandeh, H. <sup>1\*</sup>, Haji-Ebrahimi Forushani, Z. <sup>2</sup>**

1. Associate Professor, Department of Food Science and Technology, Faculty of Animal Science and Food Technology, Agricultural Sciences and Natural Resources University of Khuzestan, Mollasani  
2. MSC in Food Science and Technology  
(Received: 2018/05/04 Accepted: 2019/01/23)

The aim of this study was to investigate the effect of ultrasound power at 40 to 80 percent (equal to 232-464 W), extraction temperature (50 to 80 °C) and extraction time (10 to 30 min) on the soluble polysaccharide extraction from the *Pleurotus ostreatus*. The response surface methodology using Box-Behnken design (with three variables, three levels and 5 replications at central point) was applied to optimize extraction conditions and evaluation of the effects of main factors and their interactions. Antioxidant activity (scavenging ability of OH and DPPH) of extracted polysaccharide were also evaluated. Optimization of polysaccharide extraction yield using response surface methodology indicated that combination of the ultrasonic power of 58.06 percent (~337 W), extraction temperature of 65.15 °C and extraction time of 21.72 min resulted in maximum extraction yield (17.71%). Among three independent variables, ultrasonic power had the highest and temperature had the lowest impact on the rate of extraction. The results from antioxidant activity evaluation showed that even though extracted polysaccharide had lower absorbance capacity of the free radicals in comparison with control samples (ascorbic acid and BHT), but it revealed an acceptable antioxidant property.

**Key words:** Optimization, *Pleurotus ostreatus*, Response surface methodology, Antioxidant activity

---

\* Corresponding Author E-Mail Address: hosjooy@asnrukh.ac.ir